

## Динамика спроса и предложения

**Г. С. Осипенко**

Севастопольский институт банковского дела, Украина

[george.osipenko@mail.ru](mailto:george.osipenko@mail.ru)

**Е. К. Ершов**

Санкт-Петербургский архитектурно-строительный университет, Россия

[ershov@ee13858.spb.edu](mailto:ershov@ee13858.spb.edu)

### 1 Математическая модель

Динамика спроса и предложения будет моделироваться дискретной динамической системой. При этом, мы исходим из следующих предположений:

1) предложение возрастет, если спрос превышает предложение или цена товара имеет тенденцию к росту; предложение убывает, когда предложение превышает спрос или цена убывает;

2) цена товара возрастает, если спрос превышает предложение; цена убывает, когда предложение больше спроса;

3) спрос уменьшается, когда расходы на покупку превышают планируемые затраты; спрос возрастает, если планируемые расходы превышают реальную стоимость товара.

Пусть переменная  $x$  задает объем предложенного товара, переменная  $y$  задает цену и переменная  $z$  обозначает объем спроса на товар. Тогда величина  $\min(x, z)$  задает объем товара, который продан (реализован), а произведение  $y \min(x, z)$  определяет реальную стоимость покупки товара. Пусть  $H$  обозна-

чает планируемую величину расходов на приобретение товара, а  $n$  является дискретным временем, т.е.  $n$  есть номер периода реализации спроса, предложения и продажи товара. Например,  $x_n$  обозначает объем предложенного товара в  $n$ -й период времени, а  $y_{n+1}$  обозначает цену на товар в  $n+1$ -й период времени.

Рассмотрим функцию

$$f(x, z) = \frac{z - x}{z + x},$$

которая является однородной функцией нулевой степени, т.е.  $f(tx, tz) = t^0 f(x, z)$ . Описанные переменные  $x$ ,  $y$ ,  $z$  принимают положительные значения, тогда функция  $f(x, z)$  меняется от  $-1$  до  $+1$ . При этом значение функции  $f(x, z) < 0$  при  $z < x$  и значение функции  $f(x, z) > 0$  при  $z > x$ . Величина

$$\exp\left(a \frac{z - x}{z + x}\right),$$

при  $a > 0$ , принимает значения от  $e^{-a}$  до  $e^a$ . При этом,  $\exp(af(x, z)) < 1$ , если предложение превышает спрос  $x > z$  и  $\exp(af(x, z)) > 1$ , если спрос превышает предложение  $z > x$ . Отношение  $y_n/y_{n-1}$  определяет тенденцию изменения цены при переходе от  $n-1$ -го периода к  $n$ -му периоду продажи. Таким образом, динамика предложения может быть записана в следующем виде

$$x_{n+1} = x_n \left(\frac{y_n}{y_{n-1}}\right)^r \exp\left(a \frac{z_n - x_n}{z_n + x_n}\right),$$

где выражение  $\exp\left(a \frac{z_n - x_n}{z_n + x_n}\right)$  задает коэффициент изменения предложения на  $(n+1)$ -й период времени в зависимости от соотношения спроса и предложения в  $n$ -й промежуток времени. Отметим, что описанная зависимость определяет объем будущего предложения и, следовательно, объем производства товара. Коэффициент  $a > 0$  определяет адаптацию системы на изменения спроса и предложения. Показатель  $r$  задает степень зависимости предложения от тенденции цены. Если предложение не зависит от изменения цены, то  $r = 0$ .

Зависимость цены от спроса и предложения определяется аналогичным образом, но с другим коэффициентом адаптации  $b$  и учетом того, что цена в  $(n+1)$ -й период времени зависит от спроса и предложения в этот же  $(n+1)$ -й период времени. Следовательно, динамика цены может быть записана в виде

$$y_{n+1} = y_n \exp\left(b \frac{z_{n+1} - x_{n+1}}{z_{n+1} + x_{n+1}}\right),$$

где  $b > 0$  является соответствующим коэффициентом адаптации цены к изменению спроса и предложения. Описанная зависимость от времени создает

определенные трудности в изучении динамики системы, так как уравнение содержит  $(n + 1)$ -е время в левой и правой частях.

Спрос в  $(n + 1)$ -й период времени определяется разностью между величиной планируемого расхода  $H$  и величиной реального расхода на покупку товара в  $n$ -й промежуток времени. Если планируемый расход  $H$  больше реального расхода, то спрос возрастает; если планируемый расход  $H$  меньше реального расхода, то спрос должен уменьшаться. Таким образом, динамика спроса может быть записана в виде

$$z_{n+1} = z_n \exp\left(c \frac{H - y_n \min(x_n, z_n)}{H + y_n \min(x_n, z_n)}\right),$$

где  $c > 0$  есть коэффициентом адаптации спроса к изменению расходов.

Таким образом, мы получили следующую систему уравнений

$$x_{n+1} = x_n \left(\frac{y_n}{y_{n-1}}\right)^r \exp\left(a \frac{z_n - x_n}{z_n + x_n}\right), \quad (1)$$

$$y_{n+1} = y_n \exp\left(b \frac{z_{n+1} - x_{n+1}}{z_{n+1} + x_{n+1}}\right), \quad (2)$$

$$z_{n+1} = z_n \exp\left(c \frac{H - y_n \min(x_n, z_n)}{H + y_n \min(x_n, z_n)}\right). \quad (3)$$

Так как второе уравнение содержит  $(n + 1)$ -е время в левой и правой частях, то полученная система уравнений задает дискретную динамическую систему в неявном виде. Для получения разностных уравнений в явном виде надо значения  $x_{n+1}$  и  $z_{n+1}$  из первого и третьего уравнений подставить во второе и тогда мы получим стандартную дискретную динамическую систему.

## 2 Теоретические результаты

Сначала мы рассмотрим случай, когда предложение не зависит от изменения цены, т.е.  $r = 0$ . Полученная система (1,2,3) имеет кривую заполненную точками баланса (неподвижными точками). Точки баланса определяются равенствами

$$\begin{aligned} x &= z \\ H &= y \min(x, z). \end{aligned} \quad (4)$$

Исследование точек баланса осложняется тем, что функция  $\min(x, z)$  не является гладкой в точках баланса  $x = z$ . Покажем, что через каждую точку

баланса проходит поверхность, которую не покидают орбиты, т.е. инвариантная поверхность системы.

Рассмотрим функцию

$$U(x, y, z) = \frac{x^b}{y^a} \exp(ab \frac{z - x}{z + x}).$$

**Утверждение 1.** На любой орбите системы (1,2,3) функция  $U(x, y, z)$  постоянна.

**Доказательство.** Из второго уравнения системы следует равенство

$$y_{n+1} \exp(-b \frac{z_{n+1} - x_{n+1}}{z_{n+1} + x_{n+1}}) = y_n.$$

Возведем левую и правую части равенства в степень  $a$ , получим

$$y_{n+1}^a \exp(-ab \frac{z_{n+1} - x_{n+1}}{z_{n+1} + x_{n+1}}) = y_n^a.$$

Возведем левую и правую части уравнения (1) в степень  $b$ , получим

$$x_{n+1}^b = x_n^b \exp(ab \frac{z_n - x_n}{z_n + x_n}).$$

Разделим полученное равенство на предыдущее и получим равенство

$$\frac{x_{n+1}^b}{y_{n+1}^a} \exp(ab \frac{z_{n+1} - x_{n+1}}{z_{n+1} + x_{n+1}}) = \frac{x_n^b}{y_n^a} \exp(ab \frac{z_n - x_n}{z_n + x_n}). \quad (5)$$

Тогда равенство (5) можно записать в виде

$$U(x_{n+1}, y_{n+1}, z_{n+1}) = U(x_n, y_n, z_n).$$

Это означает, что значение функции  $U(x, y, z)$  не меняется при одной итерации и, следовательно, не меняется на всей орбите. Тогда поверхность уровня  $U(x, y, z) = const$  задает поверхность, инвариантную для системы уравнений (1,2,3). Доказательство закончено.

Каждая поверхность уровня пересекает кривую баланса в одной точке. Действительно, из уравнений баланса (4) и равенства  $U(x, y, z) = h$  следуют равенства

$$H = xy, \quad h = \frac{x^b}{y^a}.$$

Отсюда однозначно определяются координаты неподвижной точки на поверхности уровня  $U(x, y, z) = h$ . Таким образом, система (1,2,3) имеет слоение с

инвариантными слоями. При этом, на каждом слое существует единственное состояние равновесия. Можно показать, слоеное  $\{U(x, y, z) = h\}$  пересекает кривую баланса (4) трансверсально.

Существование функции  $U(x, y, z)$  с описанными свойствами позволяет редуцировать трехмерную систему (1,2,3) к двумерной системе, исключая переменную  $y$ . Действительно, рассмотрим поверхность уровня  $U(x, y, z) = h$ , тогда мы имеем равенство

$$\frac{x^b}{y^a} \exp(ab \frac{z-x}{z+x}) = h.$$

Найдем отсюда

$$y = (1/h)^{1/a} x^{b/a} \exp(b \frac{z-x}{z+x}).$$

Подставим это выражение в уравнение (3) и получим уравнение

$$z_{n+1} = z_n \exp(c \frac{H - (\frac{1}{h})^{1/a} (x_n)^{b/a} \exp(b \frac{z_n - x_n}{z_n + x_n}) \min(x_n, z_n)}{H + (\frac{1}{h})^{1/a} (x_n)^{b/a} \exp(b \frac{z_n - x_n}{z_n + x_n}) \min(x_n, z_n)}), \quad (6)$$

которое не содержит переменную цены  $y$ .

**Утверждение 2.** Система уравнений (1) и (6) для любых  $H > 0$  и  $h > 0$  эквивалентна системе уравнений

$$x_{n+1} = x_n \exp(a \frac{z_n - x_n}{z_n + x_n}), \quad (7)$$

$$z_{n+1} = z_n \exp(c \frac{1 - (x_n)^{b/a} \exp(b \frac{z_n - x_n}{z_n + x_n}) \min(x_n, z_n)}{1 + (x_n)^{b/a} \exp(b \frac{z_n - x_n}{z_n + x_n}) \min(x_n, z_n)}). \quad (8)$$

**Доказательство.** Уравнение (6) преобразуется к виду

$$z_{n+1} = z_n \exp(c \frac{1 - \frac{1}{H} (\frac{1}{h})^{1/a} (x_n)^{b/a} \exp(b \frac{z_n - x_n}{z_n + x_n}) \min(x_n, z_n)}{1 + \frac{1}{H} (\frac{1}{h})^{1/a} (x_n)^{b/a} \exp(b \frac{z_n - x_n}{z_n + x_n}) \min(x_n, z_n)}) \quad (9)$$

В системе уравнений (1) и (9) сделаем замену переменных

$$(x, z) \rightarrow (tx, tz),$$

где число  $t$  будет определено ниже. Такая замена не меняет уравнение (1). Уравнение (9) преобразуется к виду

$$z_{n+1} = z_n \exp(c \frac{1 - \frac{1}{H} (\frac{1}{h})^{1/a} t^{(a+b)/a} (x_n)^{b/a} \exp(b \frac{z_n - x_n}{z_n + x_n}) \min(x_n, z_n)}{1 + \frac{1}{H} (\frac{1}{h})^{1/a} t^{(a+b)/a} (x_n)^{b/a} \exp(b \frac{z_n - x_n}{z_n + x_n}) \min(x_n, z_n)}).$$

Выберем число  $t > 0$  так, что

$$\frac{1}{H} \left(\frac{1}{h}\right)^{1/a} t^{(a+b)/a} = 1.$$

Не трудно видеть, что такое  $t$  существует и единственно. При данном выборе  $t$  получим искомую систему уравнений. Доказательство закончено.

Следует отметить, что замена переменных, описанная в доказательстве, по существу является выбором единицы измерения спроса и предложения. Система уравнений (7,8) имеет неподвижную точку (1,1), которая является единственным балансом экономической системы.

### 3 Зависимость предложения от цены

Рассмотрим систему (1,2,3) при условии, что в первом уравнении параметр  $r > 0$ , т.е. предложение явно зависит от цены. При этом предложение увеличивается, если цена в предыдущий период возрасла и уменьшается в противном случае. Параметр  $r > 0$  определяет степень зависимости предложения от цены.

**Утверждение 3.** Система уравнений (1,2,3) эквивалентна системе

$$x_{n+1} = x_n \exp\left((a + rb) \frac{z_n - x_n}{z_n + x_n}\right), \quad (10)$$

$$y_{n+1} = y_n \exp\left(b \frac{z_{n+1} - x_{n+1}}{z_{n+1} + x_{n+1}}\right), \quad (11)$$

$$z_{n+1} = z_n \exp\left(c \frac{H - y_n \min(x_n, z_n)}{H + y_n \min(x_n, z_n)}\right). \quad (12)$$

**Доказательство.** В уравнение (1) входит выражение вида

$$\left(\frac{y_n}{y_{n-1}}\right)^r.$$

Вычислим это выражение, исходя из второго уравнения, которое перепишем для  $n$ -го периода.

$$y_n = y_{n-1} \exp\left(b \frac{z_n - x_n}{z_n + x_n}\right).$$

Тогда искомое выражение будет иметь вид

$$\left(\frac{y_n}{y_{n-1}}\right)^r = \exp\left(rb \frac{z_n - x_n}{z_n + x_n}\right).$$

Подставляя полученное выражение в первое уравнение, получим уравнение вида

$$x_{n+1} = x_n \exp\left((a + rb) \frac{z_n - x_n}{z_n + x_n}\right).$$

Утверждение доказано.

Из доказанного утверждения следует, что зависимость предложения от цены сводится к системе, где такой зависимости нет, но надо заменить параметр  $a$  на выражение вида  $a + br$ . Таким образом, достаточно изучать только системы, где предложение не зависит от цены.

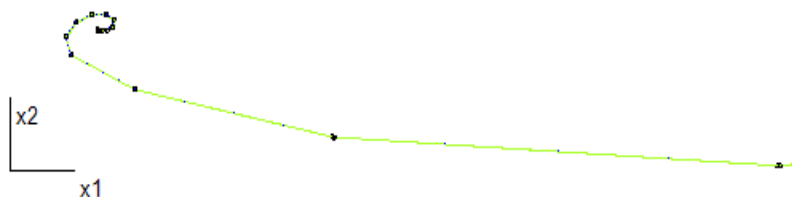


Рис. 1: Устойчивое состояние баланса при  $a = 1, b = 0.5, c = 1$ .

## 4 Численные эксперименты

Эта секция посвящена изучению динамики системы в зависимости от значений адаптивных параметров  $a, b$  и  $c$ . При подготовки этой секции использовались алгоритмы и компьютерные программы описанные в монографиях [4] и [5]. Прежде всего, отметим, что при малых значениях  $a, b$  и  $c$  система уравнений (7,8) имеет устойчивый баланс (1;1), см. рис. 1. В дальнейшем при увеличении значений параметров  $a, b$  и  $c$  состояние равновесия (1;1) теряет устойчивость и одновременно появляется устойчивая 3-периодическая орбита. Так при  $a = 2,5, b = 1,5, c = 2,3$  (см. левый рисунок 2) баланс (1;1) является неустойчивым и 3-периодическая устойчивая орбита  $P$  порождена итерацией точки  $(1, 7305; 1, 8706)$ . Более того, 3-периодический режим  $P$  является орбитой притяжения для любой орбиты кроме баланса. Это означает, что на практике, начиная с любого начального состояния, мы будем наблюдать после некоторого времени только 3-периодический режим  $P$ . Аналогичная динамика имеет место при  $a = 2,5, b = 1,5, c = 2,5$ .

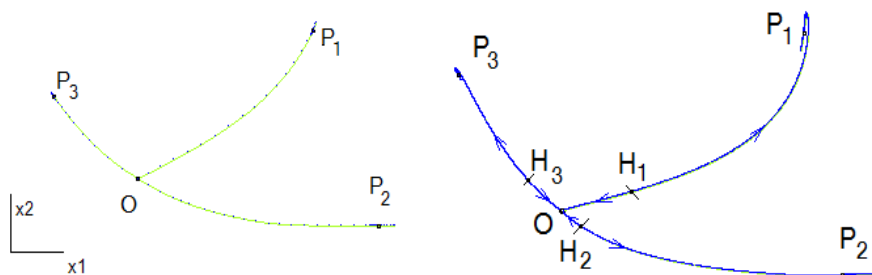


Рис. 2: Неустойчивый баланс  $O$  и 3-периодическая устойчивая орбита  $P$  при  $a = 2, 5$ ,  $b = 1, 5$ ,  $c = 2, 3$ . Устойчивое баланс  $O$ , неустойчивое многообразие  $W^u(H)$  3-периодической гиперболической орбиты  $H$  и 3-периодическая устойчивая орбита  $P$  при  $a = 2, 5$ ,  $b = 2$ ,  $c = 2, 5$ .

При увеличении значения параметра  $b$  возникают следующих бифуркации: от баланса  $O$  отделяется гиперболическая 3-периодическая орбита  $H$ , а сам баланс становится устойчивым, см. правый рис. 2. Глобальный аттрактор  $A$  формируется из замыкания неустойчивого многообразия  $W^u(H)$  гиперболической орбиты  $H$ . В этом случае предельным режимом динамики может быть либо устойчивый баланс  $O$ , либо устойчивый 3-периодический режим  $P$ , в зависимости от начального условия  $(x_0; z_0)$ . С теоретической точки зрения, есть возможность приближаться к гиперболической орбите  $H$ , выбрав начальную точку на ее устойчивом многообразии  $W^s(H)$ , но практически осуществить такой выбор не реально. Гиперболическая орбита  $H$  порождена итерацией точки  $(1, 3741; 1, 1532)$  при  $a = 2, 5$ ,  $b = 2$ ,  $c = 2, 5$ .

В ходе дальнейшего увеличения параметров возникают новые бифуркации. Так при  $a = 3, 2$ ,  $b = 2, 5$ ,  $c = 2, 5$  состояние равновесия  $O(1; 1)$  теряет устойчивость и вблизи нее появляется 2-периодическая устойчивая орбита  $Q$  точки  $(1, 2813; 1, 0172)$ , см. рис. 3. Существует инвариантная кривая  $A_0 = \{Q_1 \leftarrow O \rightarrow Q_2\}$  от точки  $O$  до орбиты  $Q$ , по которой орбиты идут от баланса к устойчивой 2-периодической орбите  $Q$ . Кривая  $A_0$  является аттрактором. Имеется 3-периодическая гиперболическая орбита  $H$  точки  $(3, 9442; 2, 2019)$ , неустойчивое многообразие  $W^u(H)$  которой одним концом наматывается на аттрактор  $A_0$ , а другим концом стремится к устойчивой 3-периодической орбите  $P$  точки  $(3, 8322; 3, 3089)$ . Замыкание неустойчивого многообразия  $W^u(H)$  дает глобальный аттрактор  $A$ , внутри которого лежит аттрактор  $A_0$ , см. рис. 3.

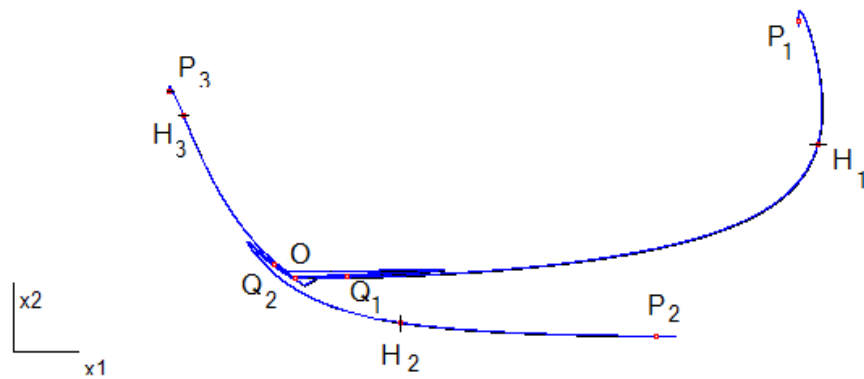


Рис. 3: Неустойчивый баланс  $O$ , устойчивая 2-периодическая орбита  $Q$ , неустойчивое многообразие  $W^u(H)$  3-периодической гиперболической орбиты  $H$  и 3-периодическая устойчивая орбита  $P$  при  $a = 3, 2, b = 2, 5, c = 2, 5$

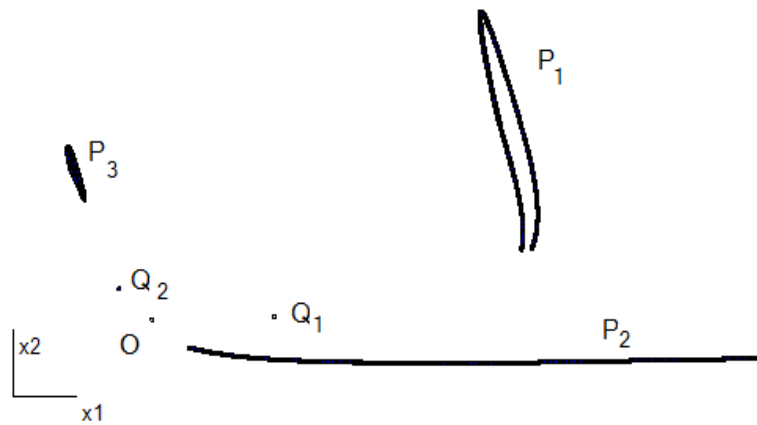


Рис. 4: Неустойчивый баланс  $O$ , устойчивая 2-периодическая орбита  $Q$  и 3-периодическая устойчивый хаотический аттрактор  $P$  при  $a = 3, 2, b = 2, 5, c = 2, 8$



Рис. 5: Неустойчивый баланс и глобальный хаотический аттрактор при  $a = 3,5$ ,  $b = 2$ ,  $c = 3,5$ .

Описанная структура вложенных аттракторов

$$((Q \subset A_0) \cup P) \subset A$$

порождает фильтрацию [3], которая является устойчивой относительно малых возмущений системы. Описанная структура аттракторов сохраняется при многих параметрах  $a$ ,  $b$  и  $c$ . При этом топология каждого из аттракторов может меняться. Можно сказать, что аттрактор  $A_0$  рождается из устойчивой 2-периодической орбиты и он, как правило, имеет достаточно малые размеры. Аттрактор  $A$  рождается из неустойчивого многообразия 3-периодической гиперболической орбиты. Если параметр  $c$  увеличить до 2,8, то на месте устойчивой периодической орбиты  $P$  появляется 3-периодическая устойчивый хаотический аттрактор  $A_1$ , см. рис. 4. Аттрактор  $A_1$  появляется в результате бифуркации устойчивой 3-периодической орбиты  $P$ .

Напомним, что энтропия  $E$  динамической системы является мерой ее хаотичности. Мы оценили энтропию динамической системы на аттракторе  $A_1$  как показатель роста длины кривой при ее итерации [2]. Эта оценка составила  $E = 0,382$ .

При дальнейшем изменении параметров происходит слияние всех описанных аттракторов в один аттрактор. Для описания величины аттракторов мы будем использовать координаты точек наиболее удаленных от состояния равновесия  $(1; 1)$ . Так когда параметры адаптации принимают значения  $a = 3,5$ ,  $b = 2$ ,  $c = 3,5$ , глобальный хаотический аттрактор имеет очень большие размеры, см. рис. 5. В этом случае крайняя точка глобального (большого) аттрактора имеет координаты  $(54,9; 0,85)$ . Оценка энтропии составила  $E = 0,269$ .

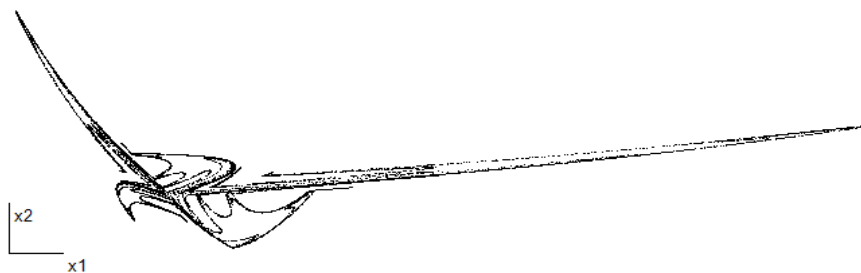


Рис. 6: Малый хаотический аттрактор при  $a = 3$ ,  $b = 1,78$ ,  $c = 3,5$ .

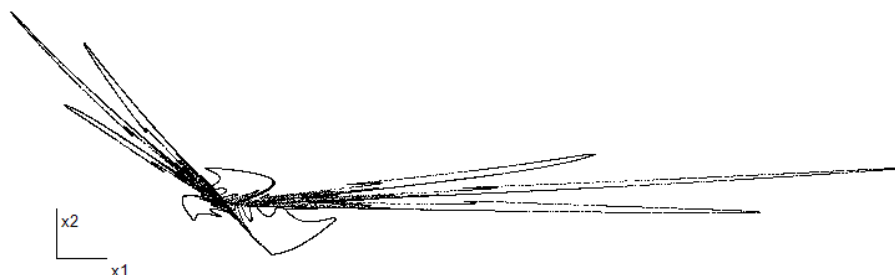


Рис. 7: Неустойчивый баланс и малый хаотический аттрактор при  $a = 3$ ,  $b = 2$ ,  $c = 3,6$ .

Если параметры принимают значения  $a = 3$ ,  $b = 1,8$ ,  $c = 3,5$ , баланс (1;1) является неустойчивым, существует 5-периодическая орбита  $P$ , которая является устойчивой. Орбита  $P$  порождается итерацией точки (1,8822; 1,1475). Все орбиты (кроме баланса) стремятся к  $P$ , такие орбиты имеют достаточно сложную структуру.

Динамика системы очень чувствительна к изменению параметров. Так при  $a = 3$ ,  $b = 1,78$ ,  $c = 3,5$  система допускает глобальный (большой) хаотический аттрактор, в котором лежит малый аттрактор, см. рис. 6. Оценка энтропии на нем составила  $E = 0,108$ . При этом состояние равновесия является неустойчивым балансом. Если  $a = 3$ ,  $b = 2$ ,  $c = 3,5$ , то хаотический аттрактор исчезает. Но при  $a = 3$ ,  $b = 2$ ,  $c = 3,6$  снова появляется нетривиальный глобальный хаотический аттрактор, внутри которого лежит малый аттрактор, см. рис. 7. Оценка энтропии на нем составила  $E = 0,04$ . Энтропия на большом аттракторе оценивается как  $E = 0,312$ .



Рис. 8: Средний хаотический аттрактор  $A_1 \subset A$  при  $a = 4$ ,  $b = 2$ ,  $c = 3$ .



Рис. 9: Неустойчивое состояние равновесия и малый аттрактор  $A_0 \subset A_1 \subset A$  при  $a = 4$ ,  $b = 1,98$ ,  $c = 3$ .

Если параметры принимают значения  $a = 4$ ,  $b = 2$ ,  $c = 3$ , то глобальный хаотический аттрактор  $A$  достигает больших размеров, крайняя точка которого имеет координаты  $(28, 4; 0, 9)$ . В аттракторе  $A$  лежит меньший аттрактор  $A_1 \subset A$ , см. рис. 8. Крайняя точка данного аттрактора имеет координаты  $(3, 5; 1, 5)$ . Оценка энтропии на нем составила  $E = 0,161$ . Внутри этого аттрактора лежит малый аттрактор  $A_0$ , см. рис. 9. Он расположен достаточно близко к балансу  $(1; 1)$  и его крайняя точка имеет координаты  $(1,07; 1,02)$ . Оценка энтропии на нем составила  $E = 0,0008$ . Можно сказать, что хаотичность данного аттрактора является очень низкой и находится в пределах допустимой ошибки.

## Список литературы

- [1] Лебедев В.В., Лебедев К.В. (2011) *Математическое моделирование нестационарных экономических процессов*. изд. "еТест Москва.
- [2] Newhouse S. and Pignataro T. (1993) On the estimation of topological entropy. *Journal of Statistical Physics*, 72, pp. 1331-1351.
- [3] Z. Nitecki, M. Shub (1975) Filtrations, decompositions, and explosions. *Amer. J. of Math.* v. 97, no. 1029-1047.
- [4] Осипенко Г.С., Ампилова Н.Б. (2005) *Введение в символический анализ динамических систем*. изд. С.-Петербургского университета.
- [5] Osipenko G. (2007) *Dynamical systems, Graphs, and Algorithms*. Lectures Notes in Mathematics, 1889. Berlin, Springer.
- [6] G. S. Osipenko, T. N. Korzh, E. K. Ershov. (2012) Dynamics of price-level, national income and cost of money interaction. *Международная конференция "Моделирование, управление и устойчивость MCS-2012". 10-14 сентября 2012 г., Севастополь, Крым*, p. 158-159.